

UDC 796.015.6:577.1:612.01

O. Drachuk, S. Semenov*, S. Oliynyk**

SYNTHESIS, STRUCTURE ANALYSIS AND BIOLOGICAL ACTIVITY SPECTRUM PREDICTION OF ANTILACTATE

Vinnitsa National Medical University (Vinnitsa)

***Institute of Bioorganic Chemistry and Petrochemistry**

of National Academy of Science of Ukraine (Kyiv)

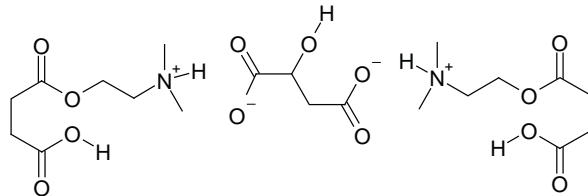
****Sungshin Women's University (Seoul, South Korea)**

Introduction. Sport pharmacology is, first of all, pharmacology of healthy people, its aim is to enhance the body adaptability to the large physical activity [5]. Rational use of drugs (the notion «drugs» in sport pharmacology should be understood as drugs or dietary supplements) during extreme training and competitive loads promotes achievement of individual record-breaking result. Therefore, sport pharmacology studies the impact of drugs in enhanced physical performance, mental stability and ability to quickly restore the athlete body's resources. Competitive athletes are targets for many hardships — strenuous work, injuries, cold and heat, thirst and fatigue, emotional stress. These stresses can lead to immunosuppression and illness. Sports pharmacology has proven useful in helping athletes cope with the physical and emotional stresses of training and competition [8]. Historically sport pharmacology was not acknowledged in the western countries. Instead, the concept of ergogenic aids and sports supplements have been prompted [10]. All in all pharmacological substances, used in sport, include adaptogens, actoprotectors, antioxidants, anabolic substances, substrates of plastic metabolism, bioregulators and energotonics. Succinic acid - one of the strongest antioxidants / antihypoxant of mitochondrial action. It is the intracellular metabolite with low toxicity, has no mutagenic and teratogenic effects. In experimental studies a wide spectrum of pharmacological activity of succinic acid and its derivatives has been shown, in particular cardioprotective, antiischemic, actoprotective, radioprotective, antistress, antidepressant, antioxidant, anticonvulsant activity. Succinic acid preparations are used in sport medicine and treatment of complex diseases such as coronary heart disease, arterial hypertension and bronchial asthma [7]. Antihypoxic activity of succinic acid derivatives is very low and side effect of these substances is increasing of gastric acidity [1, 6].

That is why the **aim of this work** was to develop, synthesize, describe and predict pharmacological activity of new derivative of malic acid and mono[(2-dimethyl amino)ethyl ether] of succinic acid. New substance was called antilactate, it must have significant antihypoxic and actoprotective properties and mustn't influence gastric secretion.

Materials & methods.

I. Synthesis of antilactate. The set task is solved by production of malate mono[(2-dimethyl amino)ethyl ether] of succinic acid having the composition which is produced using the following procedure:



18.9g (0.1mole) malate mono[(2-dimethyl amino)ethyl ether] of succinic acid were dissolved at heating in 100ml of ethanol. To that solution there were added 6,7g (0.05mole) of malic acid in 50ml of ethanol. The reaction mixture was left

for 12 hours at 20°C, the laid-down white fine-crystalline precipitate was filtered and recrystallized with 100ml of ethanol. As a result, 22.1g (86.3%) of malate mono[(2-dimethyl amino)ethyl ether] of succinic acid were recovered with a fusion temperature 92-94°C; R_f 0.55 (system i-propyl alcohol: water 5:1). Molecular structure was substantiated through elemental analysis:

Exposed, %: C 46.67; H 7.12; N 5.54; C₂₀H₃₆N₂O₁₃.

Calculated, %: C46.88; H 7.03; N 5.47.

And by spectrum PMR-spectrum.

II. Prediction of antilactate biological activity spectrum. Computer program PASS Inet (Prediction of Activity Spectra for Substances) which predicts 2486 pharmacological effects, mechanisms of action, mutagenicity, carcinogenicity, teratogenicity and embryotoxicity [9]. Accuracy of prediction is about 85% on the basis of the compound's structural formula that is satisfactorily for the prediction of the biological activity spectrum for original compounds. The result of prediction is presented as the list of activities with appropriate Pa and Pi, sorted in descending order of the difference (Pa-Pi)>0. Pa and Pi are the estimates of probability for the compound to be active and inactive respectively for each type of activity from the biological activity spectrum, their values vary from 0.000 to 1.000 [11].

III. Quantum-chemical analysis of antilactate structure. Semi-empirical quantum-chemical calculations were performed to predict geometrical parameters of antilactate using the program FireFly [3], from which estimates of interatomic distances, torsion angles and atomic charges could be obtained. Geometry optimization was performed using standard gradient techniques at the PM3 method [4]. Atomic charges were calculated by HF 6-31 G (d, p) method. Program ChemCraft 1.5 has been used for molecular visualization.

Results & discussion. PMR-spectrum of antilactate: (triplet 4.17-4.2m.h.-OCH₂(4protons); doublet of doublets 3.99-4.02m.h.(1proton) – enantiomer CH-proton of malic acid; triplet 2.74-2.8m.h.-NCH₂(4 protons); two doublets of doublets 2.31-2.57m.h.(2protons) – diastereotropic CH₂-protons of malic acid, which were partially overlapped by the signals from the other proton groups; within 2.32-2.55m.h. the signals of protons(triplets) of methylene groups of succinic acid residuals occurred, and also N-CH₃ protons, see fig. 1.

Biological activity is an expression describing the effects of a drug on living matter and the result of a chemical compound's interaction with a biological entity [2]. Every biologically active compound has a wide spectrum of different effects: some useful in the treatment of diseases, but the others - side and toxic effects. Biological activity spectrum (BAS) of a compound represents the complex of pharmacological effects, physiological and biochemical mechanisms of action and specific toxicity. BAS can be characterized on the basis of computer-aided prognosis. The technique used for compound's BAS prediction by its chemical structure is called QSAR (quantitative structure-activity relationship). It is the process by which chemical structure is quantitatively correlated with a biological activity. Molecular descriptors are numerical values that

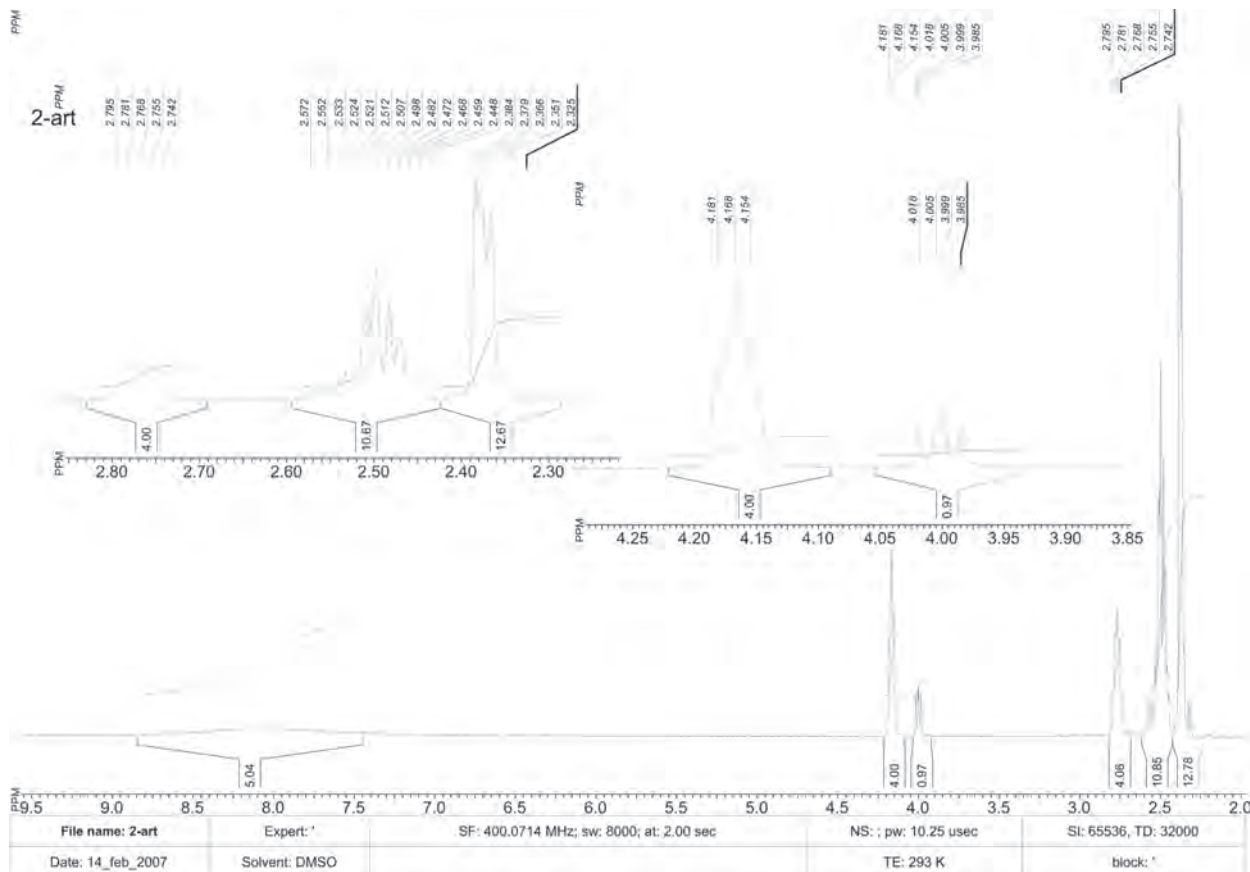


Fig 1. PMR-spectrum of antilactate.

characterize properties of molecules. PASS program calculates multilevel neighborhoods of atoms (MNA) structure descriptors of a molecule, generated on the basis of connection table and table of atoms types presented the compound. It is subtype of 2D-QSAR, because molecular descriptors are

calculated from 2D-structures. Since the MNA descriptors do not represent the stereochemical peculiarities of a molecule, the compounds, which have only stereochemical differences in the structure, are formally considered equivalent. Predicted biological activities of antilactate are shown in **table 1**.

**Table 1
Predicted biological activities of antilactate**

Nº	Pa	Pi	Activity:	
1	0.930	0.001	Growth hormone agonist	10 0.751 0.006 Skin diseases treatment
2	0.896	0.007	Vasodilator. peripheral	11 0.740 0.026 NADPH oxidase inhibitor
3	0.878	0.003	Adenylate cyclase stimulant	12 0.726 0.017 Galacturan 1,4-alpha-galacturonidase inhibitor
4	0.844	0.008	D-alanine 2-hydroxymethyltransferase inhibitor	13 0.737 0.035 Levanase inhibitor
5	0.823	0.013	Gaucher disease treatment	14 0.744 0.046 2-Haloacid dehalogenase (configuration-inverting) inhibitor
6	0.784	0.005	Radioprotector	15 0.709 0.028 Coccolysin inhibitor
7	0.800	0.047	Hematotoxic	16 0.715 0.044 Sickle-cell anemia treatment
8	0.765	0.016	NMDA receptor glycine site agonist	17 0.766 0.098 Antiseborrheic
9	0.752	0.005	Amino-acid N-acetyltransferase inhibitor	18 0.711 0.044 Sarcosine oxidase inhibitor
				19 0.708 0.052 Aminocarboxymuconate-semialdehyde decarboxylase inhibitor

20	0.683	0.035	Polygalacturonase inhibitor	51	0.566	0.029	Acylglycerone-phosphate reductase inhibitor
21	0.661	0.014	Creatinase inhibitor	52	0.560	0.023	CYP4A11 substrate
22	0.666	0.020	2-Oxoglutarate decarboxylase inhibitor	53	0.557	0.020	2,2-Dialkylglycine decarboxylase (pyruvate) inhibitor
23	0.654	0.008	L-lysine 6-transaminase inhibitor	54	0.587	0.052	Cyanidin-3-rhamnosylglucoside 5-O-glucosyltransferase inhibitor
24	0.657	0.012	Trehalose-phosphatase inhibitor	55	0.545	0.011	Glutamate-1-semialdehyde 2,1-aminomutase inhibitor
25	0.684	0.041	D-xylulose reductase inhibitor	56	0.594	0.061	Arylacetronitrilase inhibitor
26	0.682	0.043	Ecdysone 20-monoxygenase inhibitor	57	0.569	0.038	Dipeptidase E inhibitor
27	0.677	0.044	Quinoprotein glucose dehydrogenase inhibitor	58	0.633	0.105	Monodehydroascorbate reductase (NADH) inhibitor
28	0.653	0.022	GABA C receptor agonist	59	0.539	0.019	Omega-amidase inhibitor
29	0.639	0.013	Ubiquitin thiolesterase inhibitor	60	0.609	0.089	Benzoate-CoA ligase inhibitor
30	0.640	0.028	Antihypoxic	- If $Pa > 0.7$ the compound is very likely to reveal this activity in experiments, but in this case the chance of being the analogue of the known pharmaceutical agents for this compound is also high.			
31	0.614	0.007	Carboxymethylenebutenolidase inhibitor	- If $0.5 < Pa < 0.7$ the compound is likely to reveal this activity in experiments, but this probability is less, and the compound is not so similar to the known pharmaceutical agents.			
32	0.609	0.008	GABA aminotransferase inhibitor	- If $Pa < 0.5$ the compound is unlikely to reveal this activity in experiments.			
33	0.623	0.026	Alcohol O-acetyltransferase inhibitor				
34	0.602	0.010	Diisopropyl-fluorophosphatase inhibitor				
35	0.597	0.011	Pyrimidine-deoxynucleoside 2'-dioxygenase inhibitor				
36	0.629	0.046	Pectate lyase inhibitor				
37	0.595	0.015	Dimethylaniiline monooxygenase (N-oxide-forming) inhibitor				
38	0.588	0.023	Vasodilator				
39	0.573	0.012	Acyl-lysine deacylase inhibitor				
40	0.576	0.017	Peptidoglycan glycosyltransferase inhibitor				
41	0.600	0.044	Multiple sclerosis treatment				
42	0.568	0.015	Pectin lyase inhibitor				
43	0.612	0.061	Licheninase inhibitor				
44	0.601	0.052	tRNA nucleotidyltransferase inhibitor				
45	0.590	0.043	Glycerol-1-phosphatase inhibitor				
46	0.561	0.020	Prostaglandin H2 antagonist				
47	0.600	0.062	Lipoprotein lipase inhibitor				
48	0.611	0.074	Pitrilysin inhibitor				
49	0.550	0.012	Excitatory amino acid agonist				
50	0.559	0.022	3-Oxoacid enol-lactonase inhibitor				

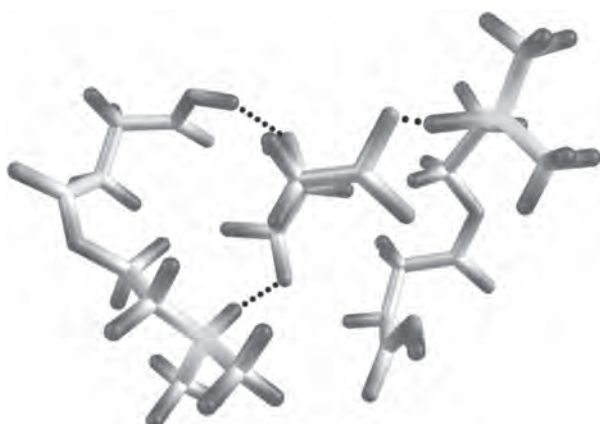


Fig 2. General view on antilactate optimized molecule: magenta – carbon atoms. green – oxygen atoms. yellow – nitrogen atoms. red – hydrogen atoms; hydrogen bonds are shown by dotted line.

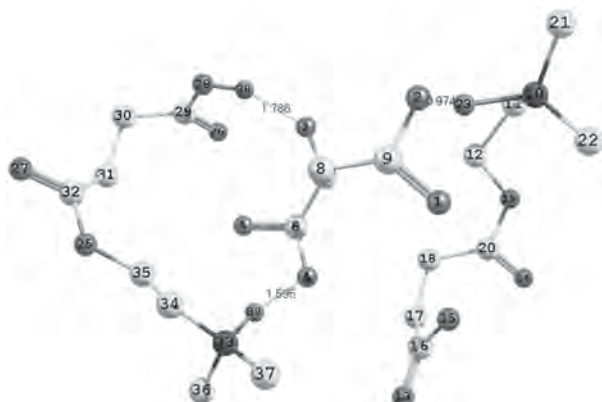


Fig 3. Molecular framework of antilactate with numbers on heavy atoms: yellow – carbon atoms. red – oxygen atoms. magenta – nitrogen atoms. blue – hydrogen atoms; hydrogen bonds are shown by dotted line. interatomic distances are marked; only hydrogens taking part into hydrogen bonding are shown.

Bond lengths and bond angles in antilactate molecule are given in the **table 2**.

**Table 2
Molecular geometries of antilactate: all distances (R) are in Å. all angles (A) in degrees**

Interatomic distances		
1	R(1-9)	1.351
2	R(2-9)	1.341
3	R(2-23)	0.974
4	R(3-7)	1.420
5	R(4-6)	1.285
6	R(5-6)	1.379
7	R(6-7)	1.530
8	R(7-8)	1.545
9	R(8-9)	1.491
10	R(10-11)	1.498
11	R(10-21)	1.488
12	R(10-22)	1.485
13	R(11-12)	1.531
14	R(12-19)	1.426
15	R(13-16)	1.222
16	R(14-20)	1.215
17	R(15-16)	1.357
18	R(16-17)	1.504
19	R(17-18)	1.517
20	R(18-20)	1.508
21	R(19-20)	1.364
22	R(25-28)	1.232
23	R(26-31)	1.212
24	R(27-28)	1.335
25	R(27-37)	0.975
26	R(28-29)	1.510
27	R(29-30)	1.527
28	R(30-31)	1.511
29	R(32-33)	1.520
30	R(32-35)	1.506
31	R(32-36)	1.507
32	R(33-34)	1.535
33	R(3-37)	1.786
34	R(4-38)	1.595
35	R(32-38)	1.100
36	R(10-23)	1.879

Angles		
1	A(1-9-2)	104.8
2	A(1-9-8)	125.2
3	A(9-2-23)	107.9
4	A(2-9-8)	120.7
5	A(2-23-10)	158.9
6	A(3-7-6)	114.1
7	A(3-7-8)	108.4
8	A(7-3-37)	118.8
9	A(4-6-5)	107.8
10	A(4-6-7)	120.9
11	A(6-4-38)	114.4
12	A(5-6-7)	120.6
13	A(6-7-8)	112.9
14	A(7-8-9)	112.9
15	A(11-10-21)	110.7
16	A(11-10-22)	112.9
17	A(10-11-12)	113.6
18	A(11-10-23)	116.2
19	A(21-10-22)	111.1
20	A(21-10-23)	100.3
21	A(22-10-23)	104.8
22	A(11-12-19)	108.0
23	A(12-19-20)	119.0
24	A(13-16-15)	113.2
25	A(13-16-17)	127.9
26	A(14-20-18)	128.4
27	A(14-20-19)	108.4
28	A(15-16-17)	119.0
29	A(16-17-18)	116.2
30	A(17-18-20)	114.4
31	A(18-20-19)	123.2
32	A(31-24-34)	120.2
33	A(25-28-27)	116.6
34	A(25-28-29)	126.3
35	A(26-31-30)	127.8
36	A(28-27-37)	110.9
37	A(27-28-29)	117.1
38	A(27-37-3)	152.0
39	A(28-29-30)	110.1
40	A(29-30-31)	112.6
41	A(33-32-35)	110.6
42	A(33-32-36)	109.8
43	A(32-33-34)	110.8
44	A(33-32-38)	108.5
45	A(35-32-36)	110.2
46	A(35-32-38)	109.7
47	A(36-32-38)	108.1
48	A(4-38-32)	160.6

Partial charges are created due to the asymmetric distribution of electrons in chemical bonds. The resulting partial charges are a property only of zones within the distribution, and not the assemblage as a whole. Mulliken charges (calculated by DFT methods) arise from the Mulliken population analysis and provide a means of estimating partial atomic charges from calculations carried out by the methods of computational chemistry, particularly those based on the linear combination of atomic orbitals molecular orbital method. Partial charges in molecule of antilactate are shown in **table 3**.

Table 3 Atomic charges in molecule of antilactate			25	HYDROGEN	0.453169
Atom number	Atom type	Atom charge	26	CARBON	-0.167965
1	OXYGEN	-0.748670	27	CARBON	-0.168773
2	OXYGEN	-0.763222	37	OXYGEN	-0.644352
3	OXYGEN	-0.687909	38	OXYGEN	-0.572702
4	OXYGEN	-0.787405	39	OXYGEN	-0.540272
5	OXYGEN	-0.744264	40	OXYGEN	-0.644305
6	CARBON	0.706176	41	CARBON	0.778351
7	CARBON	0.165597	42	CARBON	-0.301060
8	CARBON	-0.319300	43	CARBON	-0.362779
9	CARBON	0.745116	44	CARBON	0.807901
14	NITROGEN	-0.610405	45	NITROGEN	-0.623740
15	CARBON	-0.064269	46	CARBON	-0.067666
16	CARBON	0.122890	47	CARBON	0.083813
17	OXYGEN	-0.599529	54	CARBON	-0.185215
18	OXYGEN	-0.557181	55	CARBON	-0.169501
19	OXYGEN	-0.569515			
20	CARBON	0.782386			
21	CARBON	-0.314556			
22	CARBON	-0.371294			
23	OXYGEN	-0.662756			
24	CARBON	0.851964			

Conclusions. New substance – derivative of malic acid and mono-[(2-dimethyl amino)ethyl ether] of succinic acid, antilactate – was synthesized. Antilactate has wide spectrum of possible pharmacological activity, such as stimulation of metabolism, antihypertensive, antihypoxic, antioxidant and radioprotective properties. These types of activity must be proved by experimental investigations in future. Structure of antilactate has been analyzed by quantum-chemical methods: optimized geometry is definite, geometric properties and atomic charges are calculated.

References

- Dunaev V.V. Effect of malic acid salts on physical work capacity and its recovery after exhausting muscular activity / V.V.Dunaev, V.S.Tishkin, N.P.Milonova, I.M.Belai, A.N. Makarenko // Farmakol Toksikol. - 1998. – Vol. 51, № 3. – P. 21-25. [Article in Russian]
- Ekins S. In silico pharmacology for drug discovery: applications to targets and beyond / S.Ekins, J.Mestres, Testa // Br. J. Pharmacol. – 2007. – Vol. 152, № 1. – P. 21-37.
- Granovsky A.A. PC GAMESS/Firefly version 7.1.F. <http://classic.chem.msu.su/gran/gamess/index.html>
- Jursic B.S., Comparison af AM1 and PM3 semiempirical to ab initio methods in the study of Diels-Alder reactions of butadiene and cyclopentadiene with cyanoethylenes / B.S.Jursic, Z.J. Zdravkovski // Journal of molecular structure. Theochem. – 1994. – Vol. 309, № 3. – P. 249-257.
- Kerksick C. The antioxidant role of glutathione and N-acetyl-cysteine supplements and exercise-induced oxidative stress / C.Kerksick, D. Wiloughby // J. Int. Soc. Sports Nutr. – 2005. – N 2. – P. 38-44.
- Khrapak V.V. Pharmacological analysis of the antihypoxic action of aminobutyric acid derivatives / V.V.Khrapak, S.A.Oliynyk, V.Ie.Shevchenko, N.I.Shtemenko, S O.V.htemenko // Fiziol Zh. – 2001. – Vol. 47, № 6. – P. 39-43. [Article in Ukrainian]
- Maximchuk O.O. Investigations of physic-chemical and quantum-chemical properties of dimethyl ether of succinic acid / O.O.Maximchuk, A.Y.Shermolovich, T.Y.Nebesna, A.M.Nesterenko, N.O.Gorchakova, I.S. Chekman // J. National O.O.Bogomolets Medical University. – 2007. – № 3. – P. 25-31. [Article in Ukrainian]
- Oliynyk S.A. Derivatives of succinic acids and drugs of natural origin in military, extremal and sport medicine / S.A.Oliynyk. – Kyiv: Ukrainian military-medical academy, 2001. - 198 pp. [Book in Ukrainian]
- Poroikov V. Computer-aided prediction of biological activity spectra. Application for finding and optimization of new leads. In: Holtje H-D and Sippl W (eds.) / Poroikov V, Filimonov D. // Rational Approaches to Drug Design, Prous Science, Barcelona, 2001. pp 403-407.
- Spedding M. Drugs in sport: a scientist-athlete's perspective: from ambition to neurochemistry / M.Spedding, C.Spedding // Br. J. Pharmacol.- 2008. – Vol. 154, N 3. – P. 496–501.
- Stepanchikova A.V. Prediction of biological activity spectra for substances: evaluation on the diverse sets of drug-like structures / A.V.Stepanchikova, A.A.Lagunin, D.A.Filimonov, V.V.Poroikov // Curr. Med. Chem. – 2003. – Vol. 10, N 3. – P. 225-233.

УДК 796.015.6:577.1:612.01

СИНТЕЗ, АНАЛІЗ СТРУКТУРИ І БІОЛОГІЧЕСКИХ ПРОГНОЗОВ СПЕКТРА ДЕЯТЕЛЬНОСТИ ANTILACTATE Драчук О., Семенов С., Олейник С.

Резюме. Были разработаны, обобщены и описаны новые производные яблочной кислоты и моно-[(2-диметиламино) этил эфир] янтарной кислоты. Структура вещества была доказана методом ЯМР-спектроскопии. Новое вещество получило название Antilactate. Его фармакологическая активность была предсказана 2D-QSAR методом с использованием программы PASSInet. Доказаны стимулирование обмена веществ, антигипертензивные, антигипоксические, антиоксидантные и радиопротекторные свойства. Структура Antilactate была проанализирована квантово-химическим методом. Оптимизация геометрии проводилась с использованием стандартных методов градиента на РМЗ. Заряды были рассчитаны методом 6-31 KB G (D, P).

Ключевые слова: спортивная медицина, янтарная кислота, яблочная кислота, QSAR.

УДК 796.015.6:577.1:612.01

СИНТЕЗ, АНАЛІЗ СТРУКТУРИ І БІОЛОГІЧНИХ ПРОГНОЗІВ СПЕКТРУ ДІЯЛЬНОСТІ ANTILACTATE

Драчук О., Семенов С., Олійник С.

Резюме. Були розроблені, узагальнені і описані нові похідні яблучної кислоти і моно-[(2-диметил-аміно) етил ефір] янтарної кислоти. Структура речовини була доведена методом ЯМР-спектроскопії. Нове речовина отримала назву Antilactate. Його фармакологічна активність була передбачена 2D-QSAR методом за допомогою програми PASSI-net. Доведені стимулювання обміну речовин, антигіпертензивні, антигіпоксичні, антиоксидантні і радіопротекторні властивості. Структура Antilactate була проаналізована квантово-хімічним методом. Оптимізація геометрії проводилася з використанням стандартних методів градієнту на PM3. Заряди були розраховані методом 6-31 KB G (D, P).

Ключові слова: спортивна медицина, бурштинова кислота, яблучна кислота, QSAR.

УДК 796.015.6:577.1:612.01

SYNTHESIS, STRUCTURE ANALYSIS AND BIOLOGICAL ACTIVITY SPECTRUM PREDICTION OF ANTILACTATE

Drachuk O., Semenov S., Oliynyk S.

Summary. A new derivative of malic acid and mono-[(2-dimethyl amino)ethyl ether] of succinic acid has been developed, synthesized and described. Structure of the substance was proved by NMR-spectroscopy. New substance was called antilactate. Its pharmacological activity was predicted by 2D-QSAR methodology with program PASSI-net. Stimulation of metabolism, antihypertensive, antihypoxic, antioxidant and radioprotective properties are found. Structure of antilactate has been analyzed by quantum-chemical methods. Geometry optimization was performed using standard gradient techniques at the PM3 method. Atomic charges were calculated by HF 6-31 G (d, p) method.

Key words: sport medicine, succinic acid, malic acid, QSAR.

Стаття надійшла 24.03.2011 р.

УДК 616.61 – 053.9

I. П. Катеренчук, Л. П. Саричев, Г. Л. Пустовойт, Ю. А. Кострікова, Т. І. Ярмола

ОСОБЛИВОСТІ ВІКОВИХ ЗМІН ФУНКЦІОНАЛЬНИХ СТРУКТУР НІРОК

ВДНЗ України „Українська медична стоматологічна академія” (м. Полтава)

Зв'язок з плановими науково-дослідними роботами: публікація є фрагментом науково-дослідної роботи “Дослідження молекулярно-генетичних аспектів патогенезу атеріальної гіпертензії для розробки нових методів діагностики та диференційованого лікування” (№ державної реєстрації 0103V004857).

Вступ. Демографічна ситуація у світі характеризується тенденцією до постаріння населення та збільшенням відносної кількості людей старших вікових груп, причому, означена категорія людей є найбільш швидко зростаючою. Проблеми геронтології та геріатрії набувають все більшого значення у зв'язку зі зростанням захворюваності означеної категорії населення як взагалі, так і зокрема на інфекційні запальні захворювання нирок [3]. При цьому, аналіз джерел інформації свідчить про значні розбіжності у трактовці як вікових змін у нирковій тканині взагалі [5, 8], так і ознак хронічного піелонефриту (ПН) [1, 4]. Це пов'язано з неоднозначним розумінням різними дослідниками вікових змін, що відбуваються під впливом зовнішніх та внутрішніх факторів і мають відбитки на окремих структурно-функціональних елементах нирки [7]. На початку 90-х років минулого століття у клінічну практику увійшов термін “ремоделювання”, сутність якого полягає у здатності органів та систем змінювати структуру та геометрію у відповідь на довготривалий вплив патологічних агентів [2].

Мета дослідження. Встановити особливості вікового ремоделювання нирок.

Об'єкт і методи дослідження. Проведений порівняльний аналіз функціонально-активних структур нирок в осіб молодого і зрілого віку (20-44 роки), середнього віку (45-59 років) та похилого і старечого віку (≥ 60 років). Гістологічні дослідження проводилися на препаратах, що були виготовлені із шматочків нирок, взятих від 15 померлих віком 20-44 роки (середній вік склав $36,2 \pm 2,21$ років), 15 померлих віком 45-59 років (середній вік - $52,7 \pm 1,56$ років) та 15 осіб віком ≥ 60 років (середній вік - $69,6 \pm 2,89$ років), у яких за життя не спостерігалося захворювань нирок. Гістологічні зразки товщиною 7-15 мкм фарбували гематоксилін-еозином, по Ван-Гізон та по Харту. Гістологічні препарати вивчали при різному збільшенні мікроскопу фірми Olimpus „C3040-ADUP” з використанням спеціальної програми

„Олімпус ДП Софт”. Проводили гістометричні дослідження мікрогемосудин та ниркових тілець у різні вікові періоди онтогенезу. Загальний обсяг гістометричних досліджень включав 356 полів зору мікроскопу.

Статистичну обробку матеріалу проводили параметричним методом оцінки відмінностей між двома групами середніх величин та їх погрішності ($M \pm m$) за допомогою критерію Ст'юдента, використовуючи пакет сучасних прикладних програм для математичного аналізу метричних даних.

Результати досліджень та їх обговорення. За результатами дослідження, у людей похилого і старечого віку спостерігаються специфічні зміни ниркових структур, зумовлені старінням. Аналіз гістологічних препаратів свідчить про посилення з віком як у кількісному, так і у якісному плані, процесів ремоделювання функціонально-активних структур нирки. Навіть впродовж того періоду онтогенезу, який визначається як молодість та зрілість, відбувається певна структурна перебудова нирки. Вже у віковій групі - 20-44 роки практично в усіх випадках спостерігаються поодинокі вогнища нефросклерозу. Підвищення інтенсивності колагеногенезу, призводить до склерозу та деформації мікрогемосудин.

За даними морфометрії, зовнішній діаметр атеріальних судин у середньому віці зростає більше, ніж у два рази у порівнянні з молодим та зрілим віком. У подальшому темпи зростання цього показника уповільнюються. Товщина стінок мікрогемосудин у досліджуваних об'єктів молодого та зрілого віку достовірно менша у порівнянні з об'єктами середнього віку ($0,17 \pm 0,03$ мкм проти $0,22 \pm 0,02$ мкм; $p < 0,001$) та похилого і старечого віку ($0,17 \pm 0,03$ мкм проти $0,26 \pm 0,03$ мкм; $p < 0,05$). Площа поперечного перерізу мікргемосудин у досліджуваних об'єктів молодого та зрілого віку виявилась удвічі меншою, ніж у об'єктів середнього віку ($0,55 \pm 0,18$ мкм² проти $1,24 \pm 0,2$ мкм²; $p > 0,05$) та похилого і старечого віку ($0,55 \pm 0,18$ мкм² проти $1,40 \pm 0,27$ мкм²; $p < 0,05$). Більш виражену вікову перебудову мікргемосудинного русла у порівнянні з іншими структурами нирки можна пояснити значним його перевантаженням за рахунок загального артеріо- та атеросклерозу.

У свою чергу, зміни у мікргемосудинному руслі